

地球物理勘探专辑

第 3 辑
电 法 勘 探
(激发极化法)

地质出版社

地球物理勘探专辑

第 3 辑

电 法 勘 探

(激发极化法)

地质出版社

1960·北京

本专辑中收集了近年来国外（主要是苏联）期刊上有关激发极化法的十几篇文章。内容包括激发极化法的原理、工作方法以及在阿尔泰等地的具体实例。本专辑对于从事该法的勘探人员来说是很好的参考资料。

本书由张秉珍、吴炳祥、顾燕庭、赵文津、闵蔚海、孙克昌等同志译出，傅良魁同志校阅。

地球物理勘探专辑
第3辑
电法勘探（激发极化法）

著者 张秉珍 顾燕庭 等
出版者 地质出版社
北京东四十二条大街地质部内
北京书刊出版业营业登记证字第050号
发行者 新华书店 科技发行所
经售者 各地新华书店
印刷者 地质出版社 印刷厂
北京史家胡同六号 40号

印数(京)1—2000册 1960年7月北京第1版
开本787×1092^{1/25} 1960年7月第1次印刷
字数260,000 印张11^{1/5}
定价(10)1.50元

目 录

激发极化法——一种地球物理勘探方法	
.....	D. F. 勃拉叶尔 (5)
激发极化法的理論研究	R. H. 弗立歇等 (29)
岩石中激发电位問題的討論	J. O. 波利亚柯夫 (49)
在激励电流作用下极化金属矿体的相似性原則	
.....	Ю. П. 布拉謝維奇 (59)
离子导电岩石激发极化的性质	И. И. 洛克伊斯基 (67)
岩石的激发极化特性	В. Н. 达赫諾夫 (77)
激发电化学活动性	В. Н. 达赫諾夫 (87)
激发极化电位的电场	В. Н. 达赫諾夫 (93)
细粒砂質粘土岩石的激发极化电位問題	М. Г. 拉岱紹娃等 (99)
电子导体和离子导体人工极化的实验研究	Ю. С. 雷斯 (110)
沉积岩激发极化作用的实验室研究	И. И. 洛克伊斯基 (120)
在无矿地段上岩石激发极化的特性	Ю. С. 雷斯 (134)
岩石和矿石的激发极化及其在电法勘探中的应用	
.....	В. А. 柯馬羅夫等 (144)
激发极化电场的性质及其用于金属矿普查方面的可能性	
.....	В. А. 柯馬羅夫 (166)
球状金属矿体激发极化场的计算	Ю. П. 布拉謝維奇 (180)

- 长椭球和扁椭球体激发极化場的計算 J.I. A. 盖尔布赫 (192)
找寻硫化矿时激发极化法的应用 Г. И. 薩柯夫采夫 (206)
在电解极化电法勘探中新的測量方法 松原厚、中林一翠 (221)
在阿尔泰多金属矿床上应用激发极化法的几个結果
..... B. A. 柯馬羅夫等 (250)
激发极化法在瑞典金属矿床上的应用 W. 布赫霍因 (258)
激发极化法的模型实验
..... M. Г. 拉岱绍娃, B. M. 道布累宁 (264)
矿場地球物理学中的激发极化法 B. H. 达赫諾夫 (280)

激发极化法——一种地球物理勘探方法

D. F. 勃拉叶尔

摘要

經過实验室的实验，已經证实了在电解質中金属体 激发极化电位的一些基本关系。供电时，矿体两端的电位降在达饱和电位1.2伏以前，激发电位为矿体两端电位降的线性函数。离子扩散与化学作用是决定激发电位增长或衰减速度的重要因素。极化作用只发生在导电性矿物的边界部分。实验室的实验結果給出了均匀、各向同性矿化地层的激发极化电位的解釋。該电位随着离开点电极按 $\frac{1}{r}$ 的比例下降。本文对激发极化率下了定义，并且描述了野外数据的分析方法。在两个矿化带（磁硫镍矿和磁铁矿）上的野外測量結果証实了所发表的理論。

引言

当电解电池中有电流通过时，电池中阴阳两极便引起极化，这是人們早就知道的。这个效应提供了一个发现地下致密状或散漫状金属矿体的途径，而且构成了激发电位法（IP）的地球物理勘探基础。簡言之，这个方法是先在一个金属体上产生极化作用，然后测定这个极化作用，进行的程序，如图1所示。一个金属体M放在充满一种电解質的围岩中。这个金属体的存在将歪曲电流線的分布，使其按照金属体与周围岩石間电阻率的比例关系而分布。电流流进金属体的一面相当于一个等效电解电池的阴极，而电流流出的一面則相当于阳极。金属体本身則相当于通常的外线路。当直流电由A极流向B极时，金属体便极化，电流流入的一面為正，流出的一面則為負。若停止电流从A向B流动，则金属体上的偶电层就产生电流，并流經周围介質而自行消失。記錄器R将指示出C和D两点間由极化电流所造成的电位降。为了避免测量由激励电流所产生的电位降，必須使开关S在供电电路

未断开之前保持断路。

一些基于激发极化原理的勘探方法，曾经被许多人研究过，而且产生过各种各样的主张。在1912年什留姆别尔热（1912, 1920, 1930）曾经取得过关于利用激发极化作用作为勘探方法的专利权，但是后来他承认了他在野外的实验是不成功的。

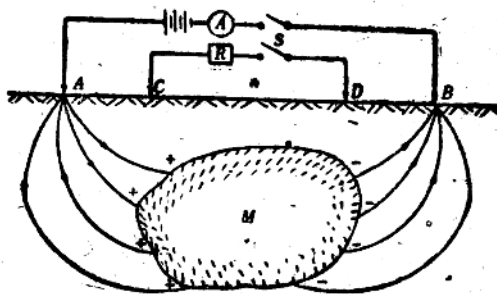


图1. 电流由A向B流经金属体M，使其极化。记录器R测量
激励电流停止后激发极化的衰减

什留姆别尔热把这个失败归咎于自然极化、“残余”极化、离子迁移以及介质的电阻率等因素。穆勒（1932, 1934a, 1934b, 1940）和威司（1933）曾经研究过一个方法，利用这个方法他们自称曾经仅以1至2瓦特的功率就得到地下3000英尺到6000英尺深的反映。可是贝留其（1935, 1941）却不能重复得出他们的这些结果。他发现他们的方法只适用于非常浅的深度。

普达本柯（1940）和派得逊（1940）曾提出过一个直接探明油田的方法，他们所使用的装置与本文所要谈的相似。这个方法的基础在于电解质和油的极化效应的差异。

除上述专门测量激发极化作用的方法以外，还有许多种测量地电性質的有关线路。一般来说，这些方法包括对容抗的测量，因为容抗对极化效应的反应是灵敏的。有关这些方法討論請讀者參看勃勞（1933）、什留姆别尔热（1932）、哈雷（1938）、麦祖勃拉（1939）、

埃弗琴 (1945, 1948), 和力威斯 (1945, 1948) 等的文献。

本文所討論的研究工作。目的在于确定影响极化的各种因素的作用。如果弄清了这些作用，则对野外测量結果的解释就容易得多了。

工作的第一部分包括实验室的实验，实验是以理論研究来个别地控制和探討每个起作用的因素，这些理論将有可能使这些結果应用到勘探中去。第二部分，是将这些实验結果应用在两个已知矿床上野外测量結果的推断解释上。

实验室内的研究

实验室的实验是这样設計的，使每个可能影响激发极化作用的因素（如电阻率，电流密度等等）的效应都可以分別地进行观测。野外測量的推断解释在很大程度上依靠实验室的结果，下面将有詳細的討論。

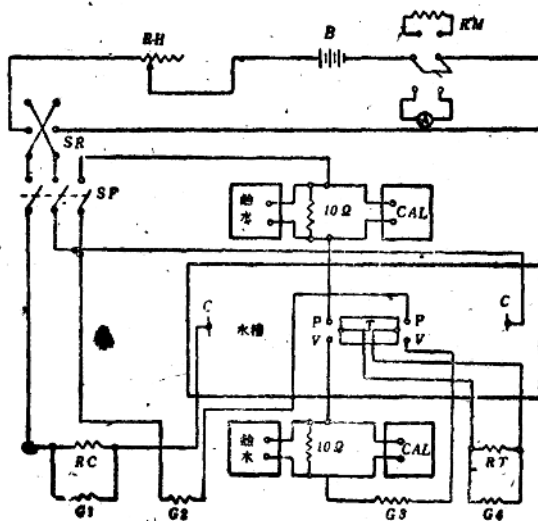


图 2. 实验室内水槽模型、电 路 等 装 置 图

实验步骤

第一个模仿地質的模型是一个充满純石英砂的木槽。很快就证实了，用水槽做实验也可以得到同样的結果，因此大多数实验就在水槽中进行。在水中放进一定份量的食盐（NaCl），使电阻率达到所需要的值。NaCl浓度的变化范围是重量百分比的0到3.6。

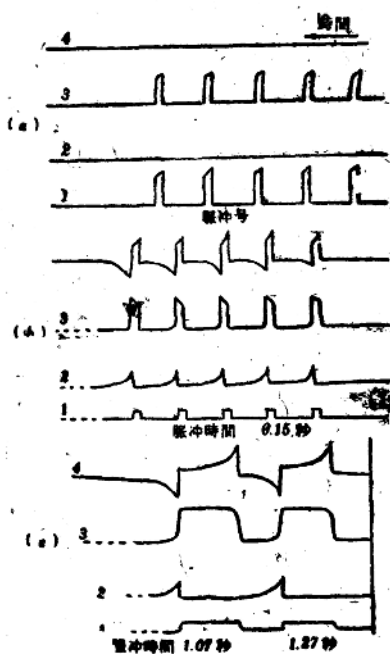


图3. 标准示波记录。(a)无标本时所得到的记录。(b)和(c)是有标本时所得到的记录。曲綫1为激励电流脉冲，曲綫2为激发极化电位，曲綫3为通过标本空间的电位，曲綫4为流过标本的电流

记录系统的电路示于图2。电极 CC' 供给激励电流，用示波仪的检流计 G 测量该电流。脉冲开关 SP 使得这个电流一通一断。当电流停止时， Ag/AgCl 电极 (PP') 就立即接触到检流计 G_2 ， G_3 是用来记录极化电位的衰减的。开关机械装置要避免激励电流电路和极化电位电路同时通路。极化电位电路在电流电路断开10毫秒（0.01秒——譯者注）后接通。

第二对电极 VV' 連續測量极化体以外空間的电位。电极 PP' 和 VV' 与激励电流是隔开的。两个电位电路要准备作校对工作。

曾經研究过很多种可极化的物体标本。其中最常用的是一种长20厘米，两端面積約为100平方厘米薄鐵片作盖帽的塑料管。图中以 T 表示此物。用金属导線焊接铁板向里的一面，經過管子从圆柱体的中

心把导线向外引出。把两端的金属板紧压在管子里，而整个圆柱体充满了混合物，这混合物把管内水驱出管外，同时也增加了重量。从标本中引出的两根金属导线接到检流计 G_1 。两端金属板在电性上联接起来了，而这个标本实际上就成了固体金属。通过标本的电流可以用 RT 上的电位降来测出，这样以来，这个标本就适于研究激发极化作用。

由上述实验所得出的一些典型示波记录示于图3。曲线1是用 G_1 得到的激励电流的记录；曲线2是用 G_2 测得的衰减的激发极化电位；曲线3是用 G_3 测得的标本外部电位曲线；曲线4是由 G_4 测得的通过标本的电流。

激发极化作用的存在

用图2所示的仪器线路，先作电极间没有标本时的测量。然后把标本放进电极 PP' 和 VV' 之间再测量一次。所得曲线示于图3，其中(a)是没有标本时得到的，而(b)，(c)是有标本情况下得出的。

(a) 中曲线1同时给出了激励电流的大小和形状，而曲线3是通过标本空间的电位降。测量没有标本的曲线2时记录器的灵敏度已调节到使 25μ 伏特的电位偏转1毫米。但是没有显示任何偏转。当介质是用充满盐水的砂子时，得到结果是相同的。这证明了在纯石英砂或水（盐水或清水）上是观察不到极化电位的。但是，当电极间放进一块金属体后，情况就完全改变了。记录(b)和(c)所示是当电极间放进铁板标本时获得的结果。这两个记录中最重要的特征是曲线2所示的电位衰减。曲线上的这种特征是在脉冲电流完全停止以后得到的。这些说明，“由于在标本边界上产生了极化作用，使得电位上升了。此外，通过标本的电流(曲线4)也同样表明有极化电位存在。在激励脉冲开始时，标本表面起电极的作用，并且电流通过此标本。当标本表面上的极化作用产生时，通过标本的电流便下降。脉冲持续时间愈长，标本电流降得愈多，直到一个稳定的残余电流形成起来为止，此时产生电动势的物质的形成速度和消失的速度达到平衡。当激励电流停止后，这个由极化产物而形成的电解电池就通过周围介质而放电。由此而流进介质的电流是与流过标本的电流方向相反的。”

激发极化作用和激励电位

激发极化作用与激励电流间的关系是用一个指定的模型，改变通过它的激励电流和观测相应的极化电位而得到的。图4为空间中无标本和有标本时的IP电位与激励电流间的关系曲线。无标本时，通过

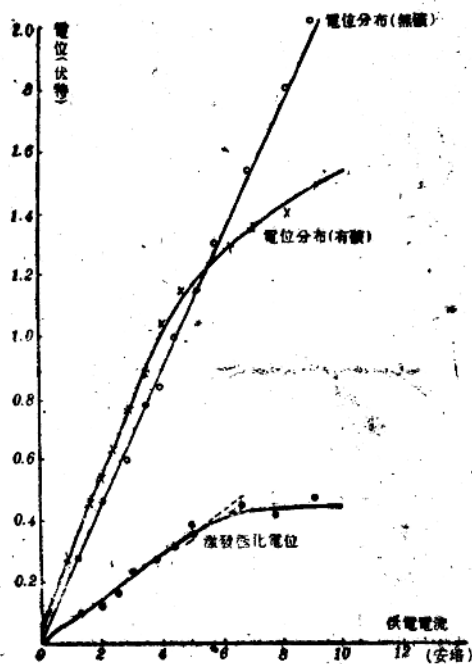


图4. 无标本时通过标本空间的电位，有标本时通过标本空间的电位以及激发极化等曲线与激励电流之关系

标本位置的空间的电位遵守欧姆定律。但是，在有标本时，当空间电位在近1.2伏交叉点以下时，其值大于按欧姆定律所确定的值。超过交叉点后，电位就降落到欧姆值（按欧姆定律所确定的值——译者注）以下。在1.2伏以下激发极化电位是激励电流的线性函数，而且这线性

关系与介質电阻率无关。此外，由各种不同电阻率的电解質和不同金属标本中所得的IP曲綫都通过原点。这說明，要产生极化效应并不需要起始电位。另外，在接近1.2伏时，所有曲綫都呈現飽和效应。氢氧电流的理論值是1.23伏。这一事实在这里很有意义。

由图3还可以看到另外一个饱和效应。它与供电电流脉冲长度有关。假如脉冲长度增加，则IP电位也增加，直到饱和值为止。达到饱和值的速度与电解質的电阻率有关。

激发极化作用和围岩电阻率

周围介質的电阻率对物体激发极化作用的影响有以下几方面：

1. 如前所述极化电位是电位降落的線性函数，所以与介質电阻率成比例。因此在勘探时，周围岩石电阻率将起显著的作用。在任何地区判定激发极化作用时必须测量电阻率。

2. 在实验室测量中发现了，极化电位与流进标本的起始电流成比例。很明显，流进标本的起始电流决定于标本和周围介質間电阻率的比值。当标本的电阻率小于围岩的 $\frac{1}{10}$ 时可以得到饱和的极化作用。当矿物的电阻率比围岩的电阻率大时，则矿物只稍微极化。另一方面，如果围岩电阻率超过矿物电阻率10倍以上，则难以取得效果。

激发极化作用和衰減时间

因为极化作用經過围岩而消失，因此，其衰減速度将多少与介質的电阻率有关。曾經对各种不同电阻率的电解質測定了一定量的极化电位衰減和上升曲綫。所得到的全部曲綫都非常相似。但是，沒有一条衰減曲綫是表示純电阻放电的指數曲綫形状的。因此，这里必定有若干种除了电阻率以外的其他因素作用着极化作用的放电速度。关于电极上极化产物的放电在文献中給了三个微分方程。这些微分方程示于表1的第一栏中。第二栏是这些方程的解答。

方程(a)和(b)适合于一个普通的电解电池，而且是描述当外线路沒有电流流过时电极物質的放电情况的。由标本里面所組成的电极在激发极化作用的实验过程中始终是联結着的。这样一种装置破坏了方程(a)和(b)所需要的零电流的条件。于是，实际放电曲綫和

表 1

衰减速度	电位与时间的关系	备注
(a) $dE/dt = -Al^{KB}$	$E = B - (1/k)\ln(t+c)$	波頓和圖代爾(1928)
(b) $dC/dt = -kE^2$	$E = \frac{A}{t+c}$	通常假定
(c) $dE/dt = -\beta E$	$E = E_0 e^{-\beta t}$	普通指數

表 1 前两个电位与时间函数间的一致性说明了在确定衰减特性时，介质电阻率的作用比起极化产物的开路放电更为次要。实验室得到的所有衰减曲线在所取得的数据范围内符合方程(b)。因此可以得出结论，激发极化电位随着时间衰减主要受离子扩散和极化表面的化学作用的支配，而几乎与周围介质电阻率无关。由此可以推论：不同地区土壤电阻率的改变将很少影响所获得的衰减曲线的形状。因此，在两个不同地区所得到的两个放电曲线可以在相应的时间间隔内作比较。

IP 电位的衰减时间常数大约为 0.3 秒。这个时间大于土壤的 RC 的时间常数（批埃尔松 1934）近 1000 倍，因此极化作用的衰减将不受该常数的影响。实际上，脉冲开关的延迟时间对普通 RC 瞬时效应所需要的消失时间而言已是足够长了。

化学边界上的现象

穆勒，威司，普达本柯和其他人曾论述了关于在一个化学边界上能产生极化电位的信念，所谓化学边界即两种不同化学成分的电介质接触的边界。他们指出可指望化学边界和岩石边界之间是非常相似的。

当边界的一面没有导电性矿物时，上述实验室实验不可能得出一个使其边界上产生激发极化作用的结构。但是这种效应曾以与周围介质不同的电介质所作成的电池进行了研究。这两种电介质是用一层植物纸膜分开的，这个膜封闭着电池的周围。虽然曾用过各种各样的电介质，但是对电池内任何溶液，把它浸在低电阻率的介质中，都观察不到激发极化电位。当把 CuSO_4 或 NaCl 作为上述溶液且放在自来水中时，可在其进口处观察到很小的电位。无论该电位的起源是什么，

比起鐵的激发极化电位比較来总是一个二级效应。以上現象是与穆勒和威司在这样一种边界上所觀察到的效应是不一样的，当然离地表3000呎以下的边界就更不可能有反应。

关于离子浓度

什留姆別尔热曾經假設一种由离子迁移使电流电极附近不均匀而引起的极化效应。为了检验这个假設，把測量装置設計得能够尽量提高不均匀效应，但是沒有发现任何由不均匀所引起的电位。这归結为任何由这种效应所引起的激发电位差或者是小得不易于測量(小于40微伏)或者是对所使用的測量仪器來講消失得太快了。从盐水的张弛時間的观点来看还能解释得通，由司缺拉頓(1941)計算得出該张弛時間为 2×10^{-10} 秒。显然，竭培杰所获得的效应不是因为激发的离子浓度的变化。該效应大概由其他原因引起，可能是由于含有均匀分散的导电矿物顆粒所致。

影响极化电位的其他因素

对勘探来講，影响极化的一个重要因素是矿体的成分。标本两端除了用普通鐵板外，还曾用黃銅、鋁、銅等金属板进行了研究。也同样用过磁鐵矿块、磁硫鐵矿块、碳棒等作为标本。在每一种上述金属上，同样在碳棒上都得到了激发极化电位。在所有情况中測得的电位与在鐵板上所测得的是可以相比拟的。

另外一个能够影响极化电位的因素是小分散颗粒的串联效应。曾經證明过激发极化电位与通过颗粒的电位降成正比。所以，产生饱和作用所需要的电流密度与矿物颗粒的长度成反比。两个串联的短颗粒所測得的极化电位(在饱和时)将要比通过同一长度的单个颗粒上所測得的大。这个現象曾經由如下的實驗得到了証实，即先分別測量两个不同长度鐵棒上的激发极化电位(在饱和时)，然后再測量两个串联組合鐵棒的激发极化电位(两棒間隔 $\frac{1}{8}$ 英寸)。通过組合棒的电位超过长度等于两个組合棒之合的一个棒上的电位，并且这个电位繼續增加，直到短棒上产生饱和作用为止。这个串联效应将有利于增强分散矿物(具有散漫状结构的含意——譯者)的极化电位，特別是，当这些

颗粒排列得很好而且相互间分离得不很远。颗粒间距离的增加将会减少通过组合体所测得的极化电位。因此，激发极化电位对岩石中极化矿物的百分比含量是有显著反应的。

上面设想的分散导电矿物颗粒的极化作用已为室内实验所证实。纯石英砂和铁砾混在一起，直至金属的重量占样品的重量的10%。将该样品埋在干净的石英砂质之中，用温纳氏电极系（即等距四极装置）进行测量。图5为通过该浸染带的一条剖面上所观测到的极化作用。图5中所示的结果是由围绕浸染矿带的中心旋转电极排列方向而得到的，极化电位在浸染带几何长度最长的方向上为极大值。

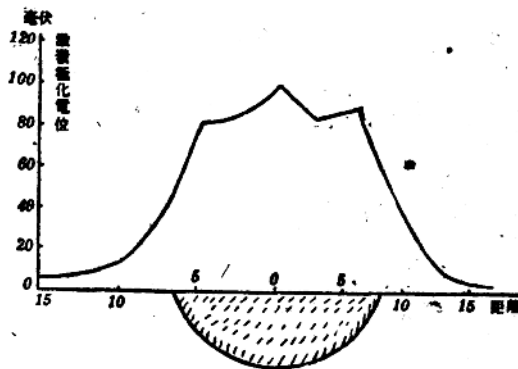


图5 故于纯石英砂介质中的金属浸染带上的激发极化电位。插图所示为电极系围绕一固定中心旋转的结果

结 论

下面是实验室里所得到一些结果：

- 放在电介质中的金属体的表面能够产生极化电位。
- 通过物体的电位在未达到1.2伏以前，激发电位与电位梯度成线性关系。超过1.2伏后，饱和效应开始出现。
- 离子扩散和极化作用产物的化学作用在确定极化电位增长

速度和衰减速度时起着重要的作用。

(d) 对一级近似而言，只有金属体或者类金属体才能够极化。

(e) 分散在不极化的围岩中的金属颗粒可以极化。

由以上的观测，可以推出如下的结论：

(a) 电解质接触边界上的极化产物只是当边界两边的导电形式有变化时才产生：即导电形式由离子导电转化为电子导电或者相反。

(b) 界面上激发电荷密度与通过界面法线分量的电流密度成正比；它的符号恰与产生它的电流相排斥。

(c) 若极化作用全部被激发，则这种极化作用便是由导电性的浸染状或块状矿体所产生的。

(d) 浸染状矿物产生饱和作用所需要的电流比块状矿体为大。此外，对于相同强度的激励电流，当矿物在低电阻率岩石中时，其矿化带上的激发电位，比矿物在高电阻率岩石中时为小。其原因有二：(1) 通过矿体的电位梯度较小，(2) 围岩和矿物间电阻率的比值减小。

(e) 对于一级近似而言，衰减曲线的形状与矿物周围介质的电阻率无关。因此，对处于不同环境下的矿物，所得曲线的时间常数几乎相同。

由此可得出推论，什留姆别尔热所描述的“残余”极化电位，是由较均匀分布的导电矿物产生的。普达本柯所测得的电位大概也是这同样根源引起的。穆勒和威司的主张中没有一个是在上述结论中占得住脚的。他们大概只是测量了他们自己的供电电极的极化作用，而这也比他们所探求的效应要大过好几倍。

实验室实验结果中所得到的结论确立了一些关于野外必须遵守的工作程序和野外数据计算方法的规定。视电阻率的测量可在极化作用的数据中一起得到。在比较各地区测量结果以前必须先从野外测量结果中去掉电阻率的因素。因为激发电位与激励电流间具有线性关系，因此必须规定野外测量用相同的电流值。对于某一电流值，如果要达到饱和时间，为了组成 I_P 电位的衰减曲线，需要激励电流脉冲的持续时间不小于0.3秒。但是脉冲时间也不需要超过0.5秒。根据电的瞬

时效应，在迅速衰减的欧姆电位中干扰出現之前，发现开关的延迟时间需要短到10毫秒。

理 論 討 論

均匀矿化地层

根据实验室的实验使得要得到均匀矿化地层的极化电位的公式变得简单了。假設金属矿物的分布是均匀的，介質电阻率均匀并为常数。在原点上点电极所发出的激励电流的作用下，单位体积的介質将按下面关系极化。

$$P = -c\rho i = -ki$$

这里 i =电流密度， ρ 为电阻率。于是地面上任意一点的电位 ϕ_s ，是由电偶单元所引起的电位的体积分。

即

$$\phi_s(x, y, z) = \int_V \frac{P \cos \theta dV}{R^2}.$$

这里 R 是觀查点到体积单元的距离， θ 則为电偶軸（或称极化軸——譯者注）与半径 R 間的夹角。这些关系与在古典极化作用的論述中所获得的结果是一致的，因此我們就把最后的结果写在下面。利用我們的記号，变为

$$\phi_s(x, y) = \frac{kI}{r} \quad (1)$$

这里 I 是激励电流， r 是离开电源的距离。均匀矿化地层上激发极化电位的极大值按照 $\frac{1}{r}$ 比例随着远离供电点电极而下降。这結果曾在实验室中充满均匀矿化砂的鉄質半球体中心的供电点电极所証实。

在雷棚农村和派苏尔法尼亞的大理岩上所进行的极化电位的測量，更进一步証实了均匀矿化地层的 $\frac{1}{r}$ 关系。这个測量結果将在以后討論。

測量結果的解釋推断

均匀矿化地层的 $\frac{1}{r}$ 关系对野外測量結果的解釋推断提供了一个